

ISSN 1561-8323 (Print)  
ISSN 2524-2431 (Online)

**МАТЕМАТИКА**  
**MATHEMATICS**

УДК 517.958:537.8  
<https://doi.org/10.29235/1561-8323-2023-67-1-7-13>

Поступило в редакцию 11.08.2022  
Received 11.08.2022

**В. Т. Ерофеенко, И. С. Козловская**

*Белорусский государственный университет, Минск, Республика Беларусь*

**МОДЕЛИРОВАНИЕ УЗКИХ ПУЧКОВ ЭЛЕКТРОМАГНИТНЫХ ВОЛН  
С ОСЕВОЙ СИММЕТРИЕЙ НА ПЛОСКОСТИ**

*(Представлено академиком Ю. С. Хариным)*

**Аннотация.** Разработана математическая модель узких пучков монохроматических электромагнитных волн, распространяющихся в вакууме. Построены пучки электромагнитных волн с порядком осевой симметрии  $m$  ( $m = 0, 1, 2, \dots$ ), характеризуемые радиусом локализации пучка  $R_{\text{пуч}}$ , параметром узости пучка  $n$  ( $n \geq 2$ ) и коэффициентом ослабления пучка  $N$  ( $N \geq 2$ ). Численно исследована структура электрического поля ТЕ-поляризованного пучка волн.

**Ключевые слова:** узкие пучки, порядок симметрии, радиус локализации, монохроматические волны, цилиндрические поля, поляризация пучка

**Для цитирования.** Ерофеенко, В. Т. Моделирование узких пучков электромагнитных волн с осевой симметрией на плоскости / В. Т. Ерофеенко, И. С. Козловская // Докл. Нац. акад. наук Беларуси. – 2023. – Т. 67, № 1. – С. 7–13. <https://doi.org/10.29235/1561-8323-2023-67-1-7-13>

**Viktor T. Erofeenko, Inessa S. Kozlovskaja**

*Belarusian State University, Minsk, Republic of Belarus*

**MODELING OF NARROW BEAMS OF ELECTROMAGNETIC WAVES  
WITH AXIAL SYMMETRY ON A PLANE**

*(Communicated by Academician Yuriy S. Kharin)*

**Abstract.** A mathematical model of narrow beams of monochromatic electromagnetic waves propagating in vacuum is developed. Beams of electromagnetic waves are constructed with the order of axial symmetry  $m$  ( $m = 0, 1, 2, \dots$ ), characterized by the beam localization radius  $R_{\text{beam}}$ , the beam narrowness parameter  $n$  ( $n \geq 2$ ), and the beam attenuation coefficient  $N$  ( $N \geq 2$ ). The structure of the electric field for a TE-polarized wave beam is studied numerically.

**Keywords:** narrow beam, order symmetry, radius localization, monochromatic waves, cylindrical fields, polarization of the beam

**For citation.** Erofeenko V. T., Kozlovskaja I. S. Modeling of narrow beams of electromagnetic waves with axial symmetry on a plane. *Doklady Natsional'noi akademii nauk Belarusi = Doklady of the National Academy of Sciences of Belarus*, 2023, vol. 67, no. 1, pp. 7–13 (in Russian). <https://doi.org/10.29235/1561-8323-2023-67-1-7-13>

**Введение.** Пучки электромагнитных волн используются для передачи информации и для воздействия на электронное оборудование технических устройств. Изучаются пучки с различной геометрической структурой в различных диапазонах частот: гауссовы [1], Лагерра–Гаусса [2], сингулярные [3; 4], оптические [1; 3], пучки в специальных средах [1; 5] и др. Значительное внимание уделяется разработке методов решения задач экранирования полей пучков экранами из различных материалов: метаматериалов [2], биизотропных [6], магнитодиэлектрических [7] и др. В предлагаемой работе разработан класс узких пучков электромагнитных волн, обобща-

ющих гауссовы пучки. Электромагнитное поле пучков представлено в интегральном виде через базисные цилиндрические электромагнитные поля [8] с плотностью, характеризующей узость пучков. Плотность вычислена аналитически и выражена через радиус локализации пучка, параметр узости и коэффициент ослабления пучка с заданным порядком осевой симметрии.

**Структура  $TE$ -поляризованных узких пучков электромагнитных волн.** Построим узкий  $TE$ -поляризованный пучок электромагнитных волн с осевой симметрией порядка  $m$  ( $m = 0, 1, 2, \dots$ ), который излучается плоскостью  $z = 0$  в полупространство  $D_0(z \geq 0)$  из вакуума.

Пучок представим в цилиндрической системе координат  $\vec{\rho} = (\rho, \varphi, z)$  в интегральном виде через базисные цилиндрические поля.

$$\vec{\mathbf{E}}_{\text{пуч}}(\vec{\rho}) = \int_0^{\infty} \vec{E}_0(\vec{\rho}; \lambda, k_0) d\lambda, \quad \vec{\mathbf{H}}_{\text{пуч}}(\vec{\rho}) = \int_0^{\infty} \vec{H}_0(\vec{\rho}; \lambda, k_0) d\lambda; \quad 0 \leq \lambda < \infty, 0 \leq \varphi < 2\pi, z \geq 0, \quad (1)$$

$$\vec{E}_0 = a_{\text{пуч}}^{(m)}(\lambda) \vec{M}_m^{(-1)}(\vec{\rho}; \lambda, k_0), \quad \vec{H}_0 = h_0 a_{\text{пуч}}^{(m)}(\lambda) \vec{M}_m^{(-2)}(\vec{\rho}; \lambda, k_0),$$

где  $a_{\text{пуч}}^{(m)}(\lambda)$  – плотность пучка;  $\vec{E}_0, \vec{H}_0$  – базисное монохроматическое цилиндрическое электромагнитное поле [8, с. 131], зависящее от параметра  $\lambda$ ;  $h_0 = \frac{1}{iZ_0}$ ,  $Z_0 = \sqrt{\mu_0/\epsilon_0}$ ,

$$\vec{M}_m^{(\mp 1)}(\vec{\rho}; \lambda, k_0) = \vec{V}_m^{(1)}(\lambda \rho) e^{\mp v_0(\lambda)z} \Phi_m, \quad \Phi_m = \exp(im\varphi), \quad (2)$$

$$\vec{M}_m^{(\mp 2)}(\vec{\rho}; \lambda, k_0) = \frac{1}{k_0} (\mp v_0(\lambda) \vec{V}_m^{(2)}(\lambda \rho) + \lambda J_m(\lambda \rho) \vec{e}_z) e^{\mp v_0(\lambda)z} \Phi_m,$$

$$\vec{V}_m^{(1)}(\lambda \rho) = \frac{im}{\lambda \rho} J_m(\lambda \rho) \vec{e}_\rho - J'_m(\lambda \rho) \vec{e}_\varphi, \quad \vec{V}_m^{(2)}(\lambda \rho) = J'_m(\lambda \rho) \vec{e}_\rho + \frac{im}{\lambda \rho} J_m(\lambda \rho) \vec{e}_\varphi, \quad (3)$$

$v_0(\lambda) = \sqrt{\lambda^2 - k_0^2}$  при  $k_0 \leq \lambda < \infty$ ,  $v_0(\lambda) = -i\sqrt{k_0^2 - \lambda^2}$  при  $0 \leq \lambda \leq k_0$ ,  $0 \leq \lambda < \infty$ ;  $\vec{e}_\rho, \vec{e}_\varphi, \vec{e}_z$  – орты цилиндрической системы координат;  $J_m(\cdot)$  – функции Бесселя;  $k_0 = \omega/c$ ,  $\omega$  – круговая частота поля,  $c = 1/\sqrt{\epsilon_0 \mu_0}$  – скорость света;  $\epsilon_0, \mu_0$  – диэлектрическая и магнитная постоянные.

Для  $TE$ -поляризованного пучка ( $TE$ -пучка) (1) электрическое поле  $\vec{\mathbf{E}}_{\text{пуч}}$  параллельно плоскости  $Oxy$ ;  $z = z_0$  – плоскость сечения пучка.

Электромагнитное поле (1) удовлетворяет уравнениям Максвелла

$$\text{rot } \vec{\mathbf{E}}_{\text{пуч}} = i\omega\mu_0 \vec{\mathbf{H}}_{\text{пуч}}, \quad \text{rot } \vec{\mathbf{H}}_{\text{пуч}} = -i\omega\epsilon_0 \vec{\mathbf{E}}_{\text{пуч}}$$

в полупространстве  $D_0(z \geq 0)$ .

**Моделирование  $TE$ -поляризованных узких пучков волн порядка  $m \geq 1$ .** Рассмотрим  $TE$ -пучок (1), для которого электрическое поле на плоскости  $z = 0$  сконцентрировано возле начала координат ( $x = 0, y = 0$ ) и экспоненциально затухает при  $\rho \rightarrow \infty$ . Плоскость  $Oxy$  рассматривается как источник пучка волн.

$$\vec{\mathbf{E}}_{\text{пуч}} \Big|_{z=0} = \int_0^{\infty} a_{\text{пуч}}^{(m)}(\lambda) \vec{M}_m^{(-1)}(\vec{\rho}; \lambda, k_0) d\lambda = (f_1(\rho) \vec{e}_\rho + f_2(\rho) \vec{e}_\varphi) \Phi_m, \quad (4)$$

где функция  $f_1(\rho)$  имеет вид узкого пучка

$$f_1(\rho) = E_0 \left( \frac{\rho}{R_{\text{пуч}}} \right)^{m-1} e^{-\alpha \rho^n}, \quad 0 \leq \rho < \infty, \quad (5)$$

где  $\alpha = \frac{\ln(N)}{R_{\text{пуч}}^n}$ ;  $E_0 - \text{const}$ ;  $[E_0] = \frac{B}{M}$ ;  $R_{\text{пуч}}$  – радиус локализации пучка;  $N$  – коэффициент ослабления пучка ( $N \geq 2$ );  $n$  – параметр узости пучка ( $n \geq 2$ ); при  $n = 2$  образуется гауссов пучок волн, при  $n = 3, 4, \dots$  формируются узкие пучки волн.

**Т е о р е м а 1.** Плотность  $a_{\text{пуч}}^{(m)}$  узкого ТЕ-поляризованного пучка электромагнитных волн (1) порядка  $m = 1, 2, 3, \dots$  определяется формулами:

$$a_{\text{пуч}}^{(m)}(\lambda) = iE_0 R_{\text{пуч}} G_n^{(m)}(\lambda), \quad (6)$$

где

$$G_n^{(m)}(\lambda) = \frac{1}{nm} 2^{m+2} (\beta_n)^m \sum_{k=0}^{\infty} \frac{(-1)^{k+1} (\beta_n R_{\text{пуч}} \lambda)^{2k+m+1}}{k!(k+m)!} \Gamma\left(\frac{2k+2m+2}{n}\right), \quad \beta_n = \frac{1}{2\sqrt[n]{\ln(N)}}.$$

**Д о к а з а т е л ь с т в о.** Вычислим электрическое поле (4) на плоскости  $z = 0$ , используя (2), (3):

$$\vec{E}_{\text{пуч}} \Big|_{z=0} = \int_0^{\infty} a_{\text{пуч}}^{(m)}(\lambda) \left( \frac{im}{\lambda \rho} J_m(\lambda \rho) \vec{e}_\rho - J'_m(\lambda \rho) \vec{e}_\varphi \right) d\lambda \Phi_m = (f_1(\rho) \vec{e}_\rho + f_2(\rho) \vec{e}_\varphi) \Phi_m. \quad (7)$$

Обозначим

$$\bar{a}(\lambda) = \frac{im}{\lambda^2} a_{\text{пуч}}^{(m)}(\lambda), \quad (8)$$

тогда из формул (6), (7) и (4) для компонент при  $\vec{e}_\rho$  следует равенство

$$E_0 \frac{\rho^m}{R_{\text{пуч}}^{m-1}} e^{-\alpha \rho^n} = \int_0^{\infty} \bar{a}(\lambda) J_m(\lambda \rho) \lambda d\lambda. \quad (9)$$

Применим обратное интегральное преобразование Ханкеля, получим

$$\bar{a}(\lambda) = \frac{E_0}{R_{\text{пуч}}^{m-1}} \int_0^{\infty} \rho^{m+1} e^{-\alpha \rho^n} J_m(\lambda \rho) d\rho. \quad (10)$$

Вычислим интеграл (10), используя представление функции Бесселя  $J_m(\lambda \rho)$  в виде ряда [8, с. 288]. Тогда

$$\bar{a}(\lambda) = \frac{E_0}{R_{\text{пуч}}^{m-1}} \sum_{k=0}^{\infty} \frac{(-1)^k \lambda^{m+2k}}{k!(k+m)! 2^{m+2k}} \int_0^{\infty} e^{-\alpha \rho^n} \rho^{2m+2k+1} d\rho. \quad (11)$$

Для вычисления интеграла (11) преобразуем интегральную формулу для гамма-функции

$$\Gamma(z) = \int_0^{\infty} t^{z-1} e^{-t} dt = [t = \alpha x^n] = n \alpha^z \int_0^{\infty} x^{nz-1} e^{-\alpha x^n} dx.$$

Обозначим  $nz - 1 = s$ ,  $z = \frac{s+1}{n}$ , тогда получим формулу

$$\int_0^{\infty} x^s e^{-\alpha x^n} dx = \frac{1}{n \alpha^{\frac{s+1}{n}}} \Gamma\left(\frac{s+1}{n}\right). \quad (12)$$

Учитывая (12) в (11), получим разложение

$$\begin{aligned} \bar{a}(\lambda) &= \frac{E_0}{R_{\text{пуч}}^{m-1}} \sum_{k=0}^{\infty} \frac{(-1)^k \lambda^{m+2k}}{k!(k+m)! 2^{m+2k}} \frac{1}{n(\sqrt[n]{\alpha})^{2k+2m+2}} \Gamma\left(\frac{2k+2m+2}{n}\right) = \\ &= \frac{mE_0}{\lambda^2} \frac{4}{nmR_{\text{пуч}}^{m-1} (\sqrt[n]{\alpha})^m} \sum_{k=0}^{\infty} \frac{(-1)^k \lambda^{2k+m+2}}{k!(k+m)! (2\sqrt[n]{\alpha})^{2k+m+2}} \Gamma\left(\frac{2k+2m+2}{n}\right). \end{aligned} \quad (13)$$

Определим радиус  $R_{\text{пуч}}$  локализации пучка (5). Экспоненциальная амплитуда пучка (5) на плоскости  $z = 0$  имеет вид  $A(\rho) = e^{-\alpha \rho^n}$ . Предположим, что амплитуда на радиусе  $A(R_{\text{пуч}})$  в  $N$  ( $N \geq 2$ ) раз меньше по сравнению с амплитудой  $A(0)$  в центральной точке  $\rho = 0$ . При  $\rho = 0$   $A(0) = 1$ , при  $\rho = R_{\text{пуч}}$  имеем  $A(R_{\text{пуч}}) = e^{-\alpha R_{\text{пуч}}^n}$ , тогда  $\frac{A(0)}{A(R_{\text{пуч}})} = e^{\alpha R_{\text{пуч}}^n} = N$ . Следует  $\alpha = \frac{\ln(N)}{R_{\text{пуч}}^n}$ ,  $\sqrt[n]{\alpha} = \frac{1}{2\beta_n R_{\text{пуч}}}$ ,

$$\beta_n = \frac{1}{2\sqrt[n]{\ln(N)}}.$$

В результате разложение (13) преобразуется к виду

$$\bar{a}(\lambda) = -\frac{mE_0}{\lambda^2} R_{\text{пуч}} G_n^{(m)}(\lambda), \quad (14)$$

где  $G_n^{(m)}(\lambda) = \frac{1}{nm} 2^{m+2} (\beta_n)^m \sum_{k=0}^{\infty} \frac{(-1)^{k+1} (\beta_n R_{\text{пуч}} \lambda)^{2k+m+1}}{k!(k+m)!} \Gamma\left(\frac{2k+2m+2}{n}\right)$ .

Сопоставляя (8) с (14), получим искомую формулу (6). ■

Вычислим  $f_2(\rho)$ , сравнивая компоненты при  $\bar{e}_\varphi$  в равенстве (7). Используя (8), представим

$$f_2(\rho) = -\int_0^\infty a_{\text{пуч}}^{(m)}(\lambda) J'_m(\lambda\rho) d\lambda = -\int_0^\infty a_{\text{пуч}}^{(m)}(\lambda) \frac{d}{\lambda d\rho} J_m(\lambda\rho) d\lambda = \frac{i}{m} \frac{d}{d\rho} \int_0^\infty \bar{a}(\lambda) J_m(\lambda\rho) \lambda d\lambda.$$

Учитывая (9), получим формулу

$$f_2(\rho) = iE_0 \frac{\rho^{m-1}}{R_{\text{пуч}}^{m-1}} \left(1 - \ln(N) \frac{n}{m} \frac{\rho^n}{R_{\text{пуч}}^n}\right) \exp\left[-\ln(N) \left(\frac{\rho}{R_{\text{пуч}}}\right)^n\right]. \quad (15)$$

### Моделирование $TE$ -поляризованных узких пучков электромагнитных волн порядка $m = 0$ .

Рассмотрим поле  $TE$ -пучка с порядком осевой симметрии  $m = 0$  (осесимметричное поле, поле не зависит от координаты  $\varphi$ ). Электрическое поле (1) на плоскости  $z = 0$ , сконцентрированное возле начала координат ( $x = 0, y = 0$ ), представим в виде

$$\bar{\mathbf{E}}_{\text{пуч}} \Big|_{z=0} = \int_0^\infty a_{\text{пуч}}^{(0)}(\lambda) \bar{M}_0^{(-1)}(\bar{\rho}; \lambda, k_0) d\lambda = f_0(\rho) \bar{e}_\varphi, \quad (16)$$

где функция  $f_0(\rho)$  имеет вид узкого пучка

$$f_0(\rho) = E_0 \frac{\rho}{R_{\text{пуч}}} e^{-\alpha\rho^n}, \quad \alpha = \frac{\ln(N)}{R_{\text{пуч}}^n}, \quad 0 \leq \rho < \infty. \quad (17)$$

**Т е о р е м а 2.** Плотность  $a_{\text{пуч}}^{(0)}$  узкого пучка электромагнитных волн порядка  $m = 0$  определяется формулами:

$$a_{\text{пуч}}^{(0)}(\lambda) = E_0 R_{\text{пуч}} G_n(\lambda), \quad (18)$$

где

$$G_n(\lambda) = \frac{8}{n} (\beta_n)^2 \sum_{k=0}^{\infty} \frac{(-1)^k (\beta_n R_{\text{пуч}} \lambda)^{2k+2}}{k!(k+1)!} \Gamma\left(\frac{2k+4}{n}\right), \quad \beta_n = \frac{1}{2\sqrt[n]{\ln(N)}},$$

для гауссова пучка  $G_2(\lambda) = \left(\frac{R_{\text{пуч}} \lambda}{2\ln(N)}\right)^2 \exp\left[-\frac{(R_{\text{пуч}} \lambda)^2}{4\ln(N)}\right]$ .

**Д о к а з а т е л ь с т в о.** Преобразуем электрическое поле (16), используя (2), (3). Получим равенство

$$\int_0^\infty a_{\text{пуч}}^{(0)}(\lambda) J_1(\lambda\rho) d\lambda = f_0(\rho). \quad (19)$$

Обозначим

$$\bar{a}(\lambda) = \frac{1}{\lambda} a_{\text{пуч}}^{(0)}(\lambda). \quad (20)$$

Тогда, с учетом формул (17), (19), следует равенство

$$E_0 \frac{\rho}{R_{\text{пуч}}} e^{-\alpha\rho^n} = \int_0^\infty \bar{a}(\lambda) J_1(\lambda\rho) \lambda d\lambda.$$

Применим обратное интегральное преобразование Ханкеля, получим

$$\bar{a}(\lambda) = \frac{E_0}{R_{\text{пуч}}} \int_0^\infty \rho^2 e^{-\alpha \rho^n} J_1(\lambda \rho) d\rho. \quad (21)$$

Вычислим интеграл (21), используя представление функции Бесселя  $J_1(\lambda \rho)$  в виде ряда:

$$\bar{a}(\lambda) = \frac{E_0}{R_{\text{пуч}}} \sum_{k=0}^\infty \frac{(-1)^k \lambda^{2k+1}}{k!(k+1)! 2^{2k+1}} \int_0^\infty e^{-\alpha \rho^n} \rho^{2k+3} d\rho. \quad (22)$$

На основании формулы (12) вычислим интеграл (22). Получим

$$\bar{a}(\lambda) = \frac{E_0}{R_{\text{пуч}}} \sum_{k=0}^\infty \frac{(-1)^k \lambda^{2k+1}}{k!(k+1)! 2^{2k+1}} \frac{1}{n(\sqrt[n]{\alpha})^{2k+4}} \Gamma\left(\frac{2k+4}{n}\right). \quad (23)$$

Вводя обозначение  $\beta_n = \frac{1}{2\sqrt[n]{\ln(N)}}$  формулу (23) преобразуем к виду

$$\bar{a}(\lambda) = E_0 R_{\text{пуч}} \frac{8}{n\lambda} (\beta_n)^2 \sum_{k=0}^\infty \frac{(-1)^k (\beta_n R_{\text{пуч}} \lambda)^{2k+2}}{k!(k+1)!} \Gamma\left(\frac{2k+4}{n}\right). \quad (24)$$

Подставляя (24) в (20), получим искомую формулу (18). ■

Электрическое поле пучка в сечении на  $z = z_0$  определяется формулой

$$\vec{E}_{\text{пуч}}|_{z=z_0} = \int_0^{k_0} a_{\text{пуч}}^{(0)}(\lambda) J_1(\lambda \rho) e^{i\sqrt{k_0^2 - \lambda^2} z_0} d\lambda + \int_{k_0}^\infty a_{\text{пуч}}^{(0)}(\lambda) J_1(\lambda \rho) e^{-\sqrt{\lambda^2 - k_0^2} z_0} d\lambda.$$

**Численное исследование TE-пучков электромагнитных волн порядка  $m = 0$ .** Рассмотрим TE-поляризованное электрическое поле (16) узкого пучка на плоскости  $z = 0$ .

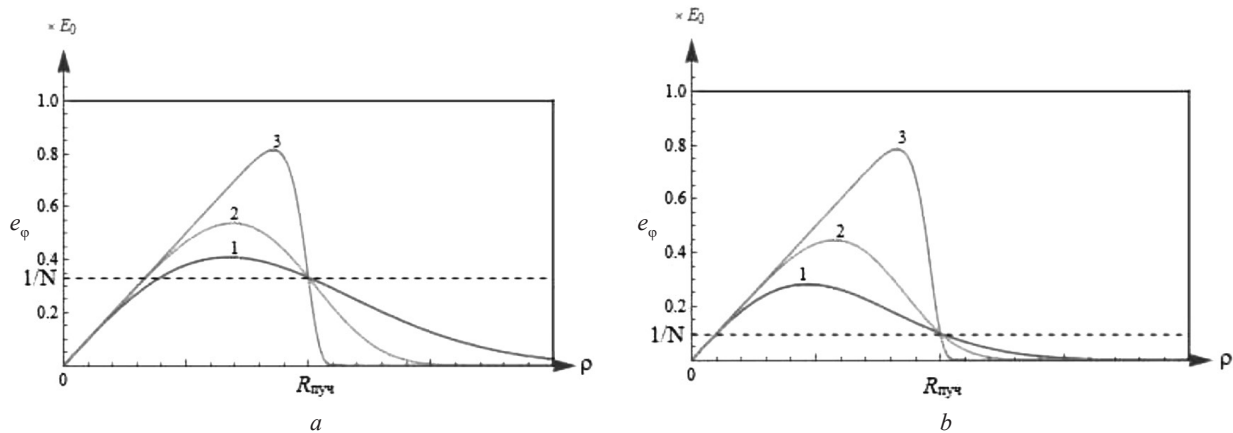
$$\vec{E}_{\text{пуч}}|_{z=0} = E_0 e_\varphi(\rho) \vec{e}_\varphi, \quad e_\varphi(\rho) = \frac{\rho}{R_{\text{пуч}}} \exp\left(-\ln(N) \left(\frac{\rho}{R_{\text{пуч}}}\right)^n\right).$$

Вычислим поле  $e_\varphi(\rho)$  при различных значениях параметров  $n, N$  (рисунок).

**Сингулярный TE-поляризованный пучок электромагнитных волн.** Для сингулярного пучка порядок симметрии  $m = 1$ . Определим электрическое поле сингулярного пучка на плоскости  $z = 0$ , учитывая формулы (4), (5), (15),

$$\vec{E}_{\text{пуч}}|_{z=0} = E_0 (\vec{e}_\rho + if(\bar{\rho}) \vec{e}_\varphi) F(\bar{\rho}) \exp(i\varphi),$$

где  $F(\bar{\rho}) = \exp(-\ln(N)(\bar{\rho})^n)$ ;  $f(\bar{\rho}) = 1 - n \ln(N)(\bar{\rho})^n$ ;  $\bar{\rho} = \frac{\rho}{R_{\text{пуч}}}$ .



Графики напряженности электрического поля  $e_\varphi(\rho)$  узкого пучка в зависимости от параметра узости пучка:  $1 - n = 2$ ;  $2 - n = 4$ ;  $3 - n = 20$  и коэффициента ослабления пучка:  $a - N = 3$ ,  $b - N = 10$

Electric field strength  $e_\varphi(\rho)$  of a narrow beam vs. beam narrowness parameter:  $1 - n = 2$ ;  $2 - n = 4$ ;  $3 - n = 20$  and beam attenuation:  $a - N = 3$ ,  $b - N = 10$

Вычислим реальное поле

$$\vec{E}_{\text{pe}} \Big|_{z=0} = \text{Re} \vec{E}_{\text{пуч}} \Big|_{z=0} = E_0 (\cos(\varphi) \vec{e}_\rho - f(\bar{\rho}) \sin(\varphi) \vec{e}_\varphi) F(\bar{\rho}) \quad (25)$$

и определим модуль электрического поля (25)

$$E(\bar{x}, \bar{y}) = |\vec{E}_{\text{pe}}| = |E_0| (\cos^2(\varphi) \vec{e}_\rho + f^2(\bar{\rho}) \sin^2(\varphi) \vec{e}_\varphi)^{1/2} F(\bar{\rho}) = \frac{|E_0|}{\bar{\rho}} \sqrt{\bar{x}^2 + f^2(\bar{\rho}) \bar{y}^2} F(\bar{\rho}),$$

где  $\bar{\rho} = \sqrt{\bar{x}^2 + \bar{y}^2}$ ,  $\bar{x}, \bar{y}$  – безразмерные декартовы координаты;  $-1 \leq \bar{x} \leq 1$ ,  $-1 \leq \bar{y} \leq 1$ .

В центре пучка  $E(0, 0) = |E_0|$ . Распределение поля вдоль оси  $Oz$  определяется формулами

$$\vec{E}_{\text{пуч}} \Big|_{\rho=0} = -\frac{1}{2} E_0 k_0 R_{\text{пуч}} (I_1(z) + I_2(z)) (\vec{e}_\rho + i \vec{e}_\varphi), \quad z \geq 0,$$

$$I_1(z) = \int_0^1 G_n^{(1)}(k_0 \bar{\lambda}) e^{ik_0 z \sqrt{1-\bar{\lambda}^2}} d\bar{\lambda}, \quad I_2(z) = \int_1^\infty G_n^{(1)}(k_0 \bar{\lambda}) e^{-k_0 z \sqrt{\bar{\lambda}^2-1}} d\bar{\lambda},$$

где функция  $G_n^{(1)}(k_0 \bar{\lambda})$  определена в (6).

**Заключение.** Исследованы электрические поля  $TE$ -поляризованных узких пучков электромагнитных волн с различными порядками осевой симметрии  $m$ . Представлены графики электрических полей осесимметричных пучков ( $m=0$ ) для различных значений параметра узости  $n$  и параметра ослабления пучка  $N$ . Показано, что при больших значениях параметра  $n$  поле на плоскости источника вне радиуса пучка  $R_{\text{пуч}}$  практически отсутствует и возрастает внутри пучка, локализуясь при  $\rho = R_{\text{пуч}}$ . Рассмотрен сингулярный пучок электромагнитных волн ( $m=1$ ), для которого электрическое поле в центре пучка  $\rho=0$  отлично от нуля. Заметим, что для пучков с порядками  $m=0$  и  $m \geq 2$  электрическое поле в точке  $\rho=0$  равно нулю.

**Благодарности.** Работа выполнена в рамках задания 1.4.3 Государственной программы научных исследований «Цифровые и космические технологии, безопасность общества и государства» на 2021–2023 гг.

**Acknowledgements.** The work has been done within the framework of task 1.4.3 of the State Research Program “Digital and space technologies, security of society and state for 2021–2023”.

### Список использованных источников

1. Гончаренко, А. М. Оптические гауссовы пучки и солитоны / А. М. Гончаренко. – Минск, 2011. – 126 с.
2. Ерофеенко, В. Т. Преобразование пучков электромагнитных волн при прохождении через экран из кирального метаматериала / В. Т. Ерофеенко, В. Ф. Бондаренко // Информатика. – 2013. – № 1. – С. 5–17.
3. Кухарчик, П. Д. Полное внутреннее отражение гауссова светового пучка / П. Д. Кухарчик, В. М. Сердюк, И. А. Титовицкий // Журн. техн. физики. – 1999. – Т. 69, № 4. – С. 74–78.
4. Казак, Л. А. Формирование, суперпозиция и устойчивость вихревых оптических пучков различного порядка / Л. А. Казак, А. Л. Толстик // Вестн. БГУ. Сер. 1. Физика. Математика. Информатика. – 2010. – № 2. – С. 3–7.
5. Панов, В. П. О распространении волновых пучков в средах с изотропной комплексной диэлектрической проницаемостью / В. П. Панов, В. В. Приходько // Радиотехника и электроника. – 2007. – Т. 52, № 6. – С. 662–670.
6. Ерофеенко, В. Т. Краевая задача дифракции пучков электромагнитных волн на плоском экране из биизотропных материалов / В. Т. Ерофеенко // Вес. Нац. акад. наук Беларусі. Сер. фіз.-мат. навук. – 2012. – № 4. – С. 72–79.
7. Ерофеенко, В. Т. Решение задачи экранирования круговых пучков электромагнитных волн плоским магнито-диэлектрическим экраном / В. Т. Ерофеенко, А. И. Урбанович // Тр. XXIX Междунар. конф. «Радиационная физика твердого тела», Севастополь, 8–13 июля 2019 г. – М., 2019. – С. 352–362.
8. Ерофеенко, В. Т. Аналитическое моделирование в электродинамике / В. Т. Ерофеенко, И. С. Козловская. – Минск, 2010. – 303 с.

### References

1. Goncharenko A. M. *Optical Gaussian beams and solitons*. Minsk, 2011. 126 p. (in Russian).
2. Erofeenko V. T., Bondarenko V. F. Transformation of beams of electromagnetic waves passing through a chiral metamaterial screen. *Informatika* [Informatics], 2013, no. 1, pp. 5–17 (in Russian).
3. Kukharchik P. D., Serdyuk V. M., Titovitskii I. A. Total Internal Reflection of a Gaussian Light Beam. *Technical Physics*, 1999, vol. 44, no. 4, pp. 417–421. <https://doi.org/10.1134/1.1259312>
4. Kazak L. A., Tolstik A.L. The formation, superposition, and stability of different-order vortex optical beams. *Vestnik BGU. Seriya 1. Fizika, Matematika, Informatika* [Vestnik BSU. Series 1. Physics. Mathematics. Informatics], 2010, no. 2, pp. 3–7 (in Russian).

5. Panov V. P., Prikhodko V. V. On the propagation of wave beams in media with isotropic complex permittivity. *Journal of Communications Technology and Electronics*, 2007, vol. 52, no. 6, pp. 617–625. <https://doi.org/10.1134/s1064226907060022>

6. Erofeenko V. T. Boundary value problem of the diffraction of beams of electromagnetic waves on the flat screen made of biisotropic materials. *Vestsi Natsyianal'nai akademii navuk Belarusi. Seryia fizika-matematychnykh navuk = Proceedings of the National Academy of Sciences of Belarus. Physics and Mathematics series*, 2012, no. 4, pp. 72–79 (in Russian).

7. Erofeenko V. T., Urbanovich A. I. Solution of the problems of shielding of the beams of electromagnetic waves by means of plane magnetodielectrical screen. *Trudy XXIX Mezhdunarodnoi konferentsii "Radiatsionnaya fizika tverdogo tela", Sevastopol', 8–13 iyulya 2019 g.* [Works of the XXIX International Conference "Radiative physics of the rigid body", Sevastopol, 08–13 July 2019]. Moscow, 2019, pp. 352–362 (in Russian).

8. Erofeenko V. T., Kozlovskaja I. S. *Analytical Modeling in Electrodynamics*. Minsk, 2010. 303 p. (in Russian).

### Информация об авторах

*Ерофеенко Виктор Тихонович* – д-р физ.-мат. наук, профессор, гл. науч. сотрудник. НИИ прикладных проблем математики и информатики БГУ (пр. Независимости, 4, 220030, Минск, Республика Беларусь). E-mail: [bsu\\_erofeenko@tut.by](mailto:bsu_erofeenko@tut.by).

*Козловская Инесса Станиславовна* – канд. физ.-мат. наук, доцент. Белорусский государственный университет (пр. Независимости, 4, 220030, Минск, Республика Беларусь). E-mail: [kozlovskaja@bsu.by](mailto:kozlovskaja@bsu.by).

### Information about the authors

*Erofeenko Viktor T.* – D. Sc. (Physics and Mathematics), Professor, Chief Researcher. Research Institute for Applied Problems of Mathematics and Informatics of the Belarusian State University (4, Nezavisimosti Ave., 220030, Minsk, Republic of Belarus). E-mail: [bsu\\_erofeenko@tut.by](mailto:bsu_erofeenko@tut.by).

*Kozlovskaja Inessa S.* – Ph. D. (Physics and Mathematics), Associate Professor. Belarusian State University (4, Nezavisimosti Ave., 220030, Minsk, Republic of Belarus). E-mail: [kozlovskaja@bsu.by](mailto:kozlovskaja@bsu.by).